

## ИССЛЕДОВАНИЕ КОНТРАСТНОСТИ И ПРОСТРАНСТВЕННОГО РАЗРЕШЕНИЯ МАТРИЧНОГО СЦИНТИЛЛЯТОРА

ВОЛКОВИЧ А. Г., ЛИКСОНОВ В. И., СМИРНОВ С. В., СТЕПАНОВ В. Е., ФИЛИППОВ Д. В.,  
УРУЦКОЕВ Л. И., ЧЕСНОКОВ А. В.

Описана конструкция позиционно-чувствительного детектора для яксткого ( $0,1 \div 1,0$  МэВ) рентгеновского излучения. Показано, что матричный сцинтиллятор может использоваться для построения  $\gamma$ -изображений. Приведены результаты экспериментов по определению пространственного разрешения и контрастности изображения.

В последнее время наблюдается повышенный интерес к исследованию методов построения изображений в  $\gamma$ - и рентгеновских лучах. Эти методы могут быть использованы в рентгеноископии, позитронной томографии [1, 2], ангиографии [3, 4], астрофизике и экологии.

Данная работа посвящена исследованию матричного конвертора позиционно-чувствительного детектора — гаммавизора. Для получения изображения источника  $\gamma$ -излучения применяется камера-обскура, внутри которой расположен матричный сцинтиллятор с усилителем света [5]. На рис. 1 представлен внешний вид сцинтиллятора-конвертора, который представляет собой мозаику из сцинтилляционных кристаллов CsI(Tl) сечением  $1 \times 1$  мм<sup>2</sup> и толщиной  $3 \div 10$  мм. Для уменьшения вероятности попадания комптоновского электрона из одной ячейки в другую пространство между ними толщиной 0,25 мм заполнено сплавом Вуда.

Для оценки контрастности рассмотрим матричный сцинтиллятор, состоящий из параллелепипедов с поперечным сечением  $S = d \times d$  и длиной  $l$ . Пусть поток  $\gamma$ -квантов падает на

торец одной из ячеек (далее — главной ячейки). Из-за комптоновского рассеяния часть  $\gamma$ -квантов может попадать в соседние ячейки. Определим, какая доля поглощенной в сцинтилляторе энергии  $\gamma$ -квантов будет поглощена в одной из соседних ячеек. Пусть  $I$ , Вт/см<sup>2</sup> — плотность потока энергии  $\gamma$ -квантов, падающих на торец главной ячейки. Из-за поглощения в кристалле поток  $\gamma$ -квантов ослабевает по глубине ячейки  $Z$  с коэффициентом поглощения  $\mu$ . Число  $\gamma$ -квантов, претерпевших комптоновское рассеяние в элементе объема  $dXdYdZ$  главной ячейки и рассеявшихся на угол  $\theta$ ,

$$\frac{dN_\theta}{d\Omega} = \frac{I \exp(-\mu Z)}{\varepsilon_0} \mu_s dX dY dZ \frac{d\sigma(\theta)}{\sigma_0 d\Omega},$$

где  $\mu_s$  — коэффициент поглощения за счет комптоновского рассеяния,  $d\sigma/d\Omega$  и  $\sigma_0$  — соответственно дифференциальное и полное сечение комптоновского рассеяния на один электрон, а  $\varepsilon_0$  — энергия падающего  $\gamma$ -кванта. Через боковую стенку соседней ячейки площадью  $dVdW$  проходит

$$dN_{dVdW} = \frac{dN dV dW \sin \theta}{r^2 d\Omega}$$

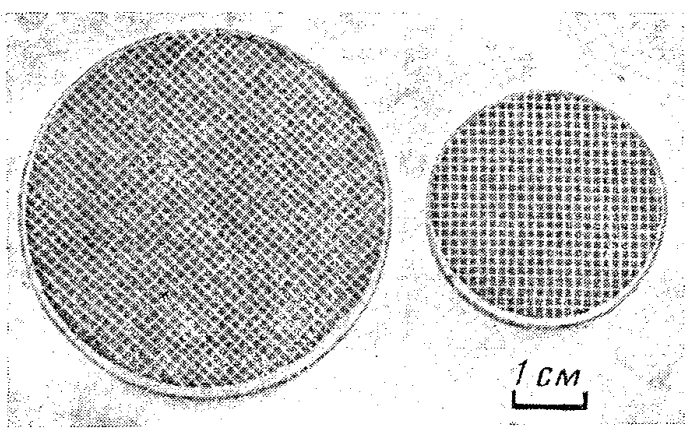


Рис. 1. Матричный детектор. Размер ячейки:  $S = 1 \times 1 \text{ мм}^2$ ,  $l = 7 \text{ мм}$ . Расстояние между сцинтилляционными ячейками ( $a = 0,2 \text{ мм}$ ) заполнено сплавом Вуда

рассеянных  $\gamma$ -квантов, где  $r$  — расстояние от точки рассеяния до точки попадания в соседнюю ячейку. Учитывая, что при рассеянии энергия  $\gamma$ -кванта уменьшается по закону

$$\varepsilon'/\varepsilon_0 = [1 + \gamma_0(1 - \cos \theta)]^{-1},$$

где  $\gamma_0$  — отношение  $\varepsilon_0$  к энергии покоя электрона, получаем, что доля энергии, оставленной рассеянными  $\gamma$ -квантами в соседней ячейке, по отношению к оставленной в главной ячейке энергии  $P_0 = IS(\mu_a/\mu)[1 - \exp(-\mu l)]$  определяется выражением

$$\alpha = \int_0^l \int_0^l \int_m^n \int_m^n \frac{\exp(-\mu Z) \mu \mu_s}{1 - \exp(-\mu l)} \frac{\sin \theta}{1 + \gamma_0(1 - \cos \theta)} \times \\ \times \frac{d\sigma(\theta)}{\sigma_0 d\Omega} \frac{2}{r^2} \frac{\mu_a(\varepsilon'(\theta))}{\mu_a(\varepsilon_0)} \frac{U(\theta)}{S} dW dY dX dV dZ,$$

$$m = -d/2, n = d/2, \cos \theta = (V - Z)/r,$$

где  $\mu_a$  — коэффициент поглощения за счет фотоэффекта,  $U(\theta)$  — путь, пройденный рассеянным  $\gamma$ -квантам в соседней ячейке.

В таблице приведены рассчитанные при  $\varepsilon_0 = 600 \text{ кэВ}$  значения параметра  $\alpha$  для матричного детектора на основе сцинтиллятора CsI(Tl). Так как  $\gamma$ -квант имеет длину пробега, много большую поперечного размера ячейки, доля энергии, оставляемой рассеянными  $\gamma$ -квантами, слабо падает с увеличением рассеяния. То есть рассеянные  $\gamma$ -кванты создают «серый» фон.

Оценки величины пробега комптоновских электронов в кристалле сцинтиллятора в направлении, перпендикулярном направлению начального движения фотона, проделанные с учетом углового и спектрального распределения таких электронов, показывают, что для  $\varepsilon_0 = 600 \text{ кэВ}$  средняя длина пробега вторичного комптоновского электрона составляет  $\sim 0,2 \text{ мм}$ . Эта величина определяет нижний предел поперечного размера ячейки.

Фотоэлектрон в начале пути движется в основном вдоль оси ячейки, с уменьшением энергии углы рассеяния увеличиваются и ч фоторэлектронов может выйти в соседнюю ячейку. Оценки дают, что при  $\varepsilon_0 = 600 \text{ кэВ}$  глубина проникновения фоторэлектронов в направлении перпендикулярном оси сцинтиллятора, составляет  $\sim 0,5 \text{ мм}$ .

Оценим долю энергии, выносимой вторичными электронами из главной ячейки в соседнюю. При этом учтем, что доля энергии, поглощенной в результате фоторефракции, составляет 35% поглощенной энергии. Решая несложную задачу получаем, что доля энергии, оставленной вторичными электронами в соседней ячейке,  $\beta \leq (Rd/4)[(d - 2R)^2 + 4(3/4)R(d - 2R) + 4R^2/2]^{-1} = [4(d/R - 1)]^{-1}$ .

Для кристалла CsI с поперечным размером  $d = 1 \text{ мм}$  величина  $\beta$  составляет 25% для фоторэлектронов и 6% для комптоновских электронов. Суммарная вынесенная энергия достигает 12%. Вещество перегородок между ячейками является эффективным поглотителем этой взаимодействия.

Из проведенного анализа видно, что в веществе энергии, отданное всем другим ячейкам кроме главной, составляет 2–5% в зависимости от длины сцинтиллятора, причем для коротких ячеек эта величина меньше. На ближайшую соседнюю ячейку при этом приходит 0,5% энергии при  $l = 0,5 \text{ см}$  и 0,8% при  $l = 1 \text{ см}$  ( $d = 1 \text{ мм}$ ).

Пространственное разрешение матричного сцинтиллятора исследовалось на стенде, установленном на рис. 2. Излучение с энергией 662 кэВ ( $^{137}\text{Cs}$ ) от точечного источника с активностью  $3 \cdot 10^9 \text{ Бк}$  проходит через расположенный на расстоянии 0,2 м коллиматор из свинца длиной 50 мм с поперечным сечением  $S_k$  от 0 × 0,5 до  $2 \times 2 \text{ мм}^2$  и попадает на помещен-

Расчетные значения параметра  $\alpha$ , % для матричного детектора на основе сцинтиллятора CsI(Tl) при  $\varepsilon_0 = 600 \text{ кэВ}$

$l$ , см	d, мм		
	1	0,5	0,2
$a = 0,25 \text{ мм}$			
1,0	1,67	0,69	—
0,5	1,28	0,57	—
$a = 0,1 \text{ мм}$			
1,0	—	—	0,34
$a = 0,0 \text{ мм}$			
0,5	2,8	—	—

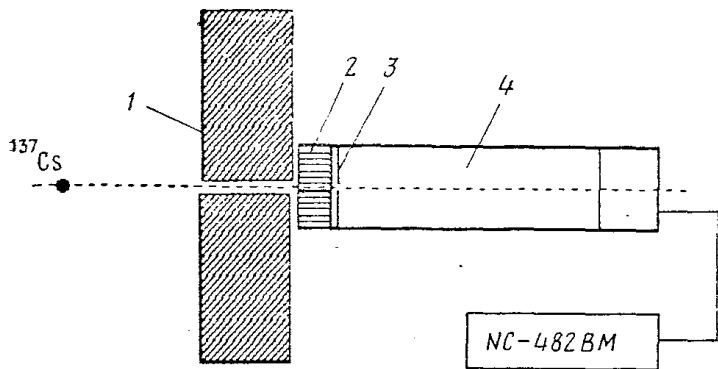


Рис. 2. Схема измерительного стенда. 1 — свинцовая защита, 2 — матричный детектор, 3 — световая диафрагма, выделяющая одну ячейку, 4 — ФЭУ-37 с предустановителем; NC-482BM — анализатор спектра

вплотную к коллиматору сцинтиллятор с размерами ячейки  $d \times d = 1,0 \times 1,0 \text{ mm}^2$ ,  $l = 6 \text{ mm}$ . На сцинтилляторе диафрагмой выделена только главная ячейка, излучение из которой регистрируется ФЭУ-37, сигналы с которого поступают на анализатор NC-482BM.

На рис. 3 представлены зависимости числа сигналов с фотоумножителем от положений ячейки относительно коллиматоров с различными поперечными сечениями. Пространственное разрешение детектора при поперечных размерах коллиматора  $S_k > d \times d$  определяется коллиматором, в противоположном случае — сцинтиллятором. Поток  $\gamma$ -квантов с энергией 600 кэВ, прошедших через 50 мм свинца, ослабляется в  $\sim 10^2$  раз. И поэтому вклад  $\gamma$ -квантов, прошедших через свинцовую преграду, не может объяснить крыльев распределений рис. 3. В то же время количество отсчетов в этих крыльях не зависит от величины  $S_k$  (за исключением  $S_k = 2 \times 2 \text{ mm}^2$ ), и, по-видимому, может быть объяснено рассеянием (отражением)  $\gamma$ -квантов от стен помещения, а также радиоактивным загрязнением лаборатории<sup>1</sup> (фон). Большие значения фонового излучения для  $S_k = 2 \times 2 \text{ mm}^2$  связаны с тем, что в построении изображения участвует не одна, а четыре ячейки. Поэтому, вычитая из количества отсчетов в крыльях распределения для  $S_k = 2 \times 2 \text{ mm}^2$  фон, получаем, что отношение этой разности к количеству импульсов в максимуме кривой, деленное на 4 (количество главных ячеек), составляет  $< 1\%$ . Следовательно, энергия, выделяемая в соседней ячейке,  $< 0,5\%$  энергии, выделенной в главной ячейке, и практически одинакова для всех ячеек, кроме главной.

Были также исследованы матричные сцинтилляторы различной толщины при фиксированном размере коллиматора. Соответствующие функции распределения для сцинтиллятора с

размером ячейки  $d \times d = 1 \times 1 \text{ mm}^2$  и  $l$ , равных 3; 5; 7 мм, а также для сплошного сцинтиллятора толщиной 1,5 мм и коллиматора толщиной  $S_k = 2 \times 2 \text{ mm}^2$  показаны на рис. 4. Видно, что пространственное разрешение матричных сцинтилляторов значительно лучше разрешения

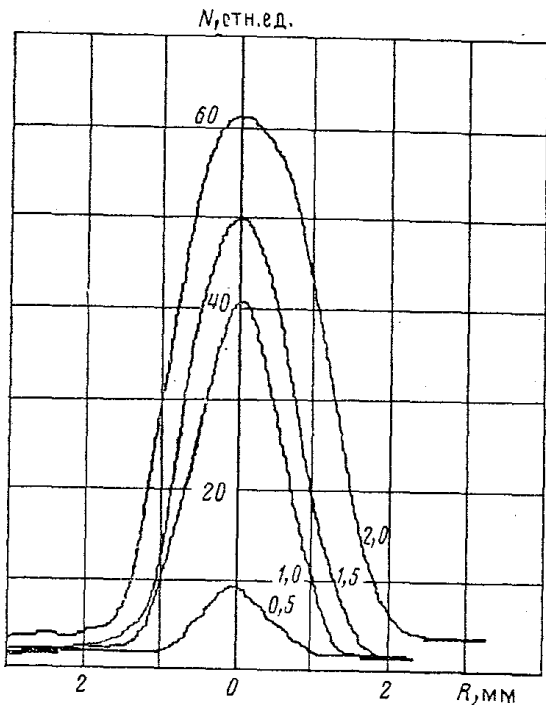


Рис. 3. Зависимость числа импульсов, регистрируемых спектроанализатором, от положения выделенной ячейки относительно коллиматоров с различными сечениями  $d \times d$  (величина  $d$  указана у кривых в миллиметрах)

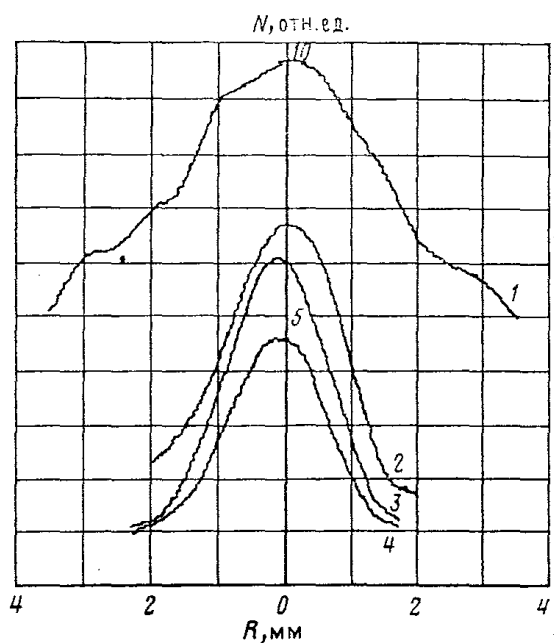


Рис. 4. Зависимость числа импульсов, регистрируемых спектроанализатором, от положения выделенной ячейки относительно коллиматора: 1 — сплошной сцинтиллятор,  $l = 1,5 \text{ mm}$ ,  $S_k = 2 \times 2 \text{ mm}^2$ ; 2 — 4 — матричный детектор,  $S_k = 1,5 \times 1,5 \text{ mm}^2$ ,  $l$  равны: 2 — 3, 3 — 5, 4 — 7 мм

<sup>1</sup> Эксперимент проводился в г. Чернобыле.

тонкого сплошного сцинтиллятора. Отношение максимума функции распределения к величине фонового уровня на крыльях характеризует контрастность, которая оказывается минимальной для сплошного сцинтиллятора.

Для оценки однородности матричного сцинтиллятора сцинтиллятор вместе с усилителем яркости помещался в однородное поле  $\gamma$ -квантов. Фотометрирование показало, что интенсивность свечения ячеек сцинтиллятора отличалась в  $\lesssim 1,5$  раза.

Таким образом, полученные результаты позволяют сделать следующие выводы.

1. Матричный сцинтиллятор из CsI(Tl) позволяет получать изображение источников  $\gamma$ -излучения с пространственным разрешением, лучшим разрешения тонкого сплошного несекционированного сцинтиллятора сравнимой эффективности.

2. Оптимальный поперечный размер ячейки  $d \times d = 1 \times 1 \text{ мм}^2$  для  $\gamma$ -излучения с энергией  $0,5 \div 1,0 \text{ МэВ}$ .

3. Рассеянные  $\gamma$ -кванты создают однородный фон на уровне 1% от энергии, поглощенно в главной ячейке.

## ЛИТЕРАТУРА

1. Derenzo S. E., Budinger T. F., Vuletic T. // IEEE Trans. on Nucl. Sci. 1983. V. NS-30. № 4. P. 665
2. Mullani N. A., Ficker D. C., Ter-Pogossian M. M. / IEEE Trans. on Nucl. Sci. 1980. V. NS-27. № 1 P. 572.
3. Smither R. K., Westbrook E. M. // Nucl. Instrum. and Methods. 1988. V. A266. P. 260.
4. Mezentsev N. A., Pindurin V. F. // Nucl. Instrum. and Methods. 1987. V. A261. P. 301.
5. Volkov V. G., Volkovitch A. G., Kambulov I. N. et al. / Internat. Conf. «Fiftieth anniversary of nuclear fission» (Leningrad, 1989). Abstracts. Leningrad Nuclear Physics Institute, 1989. P. 99.

Институт атомной энергии, Москва  
Поступила в редакцию 2.I.1990  
После доработки 7.VI.1990